

## МЕХАНИЗМ СЛОЖНОГО ТРЕХЯРУСНОГО ОПОЛЗНЯ В БАЛЧИКЕ, БОЛГАРИЯ<sup>1</sup>

Член-корр. Болгар. АН проф. Б. ԿԱՄԵՆՈՎ<sup>2\*</sup>,  
профессор, докт. техн. наук Г. И. ТЕР-СТЕПАНИЯН<sup>3</sup>,  
канд. геол.-минер. наук И. ИЛИЕВ<sup>4\*</sup>,  
инженер-геологи Г. СИМЕОНОВА<sup>4\*</sup> и Е. АВРАМОВА-ТАЧЕВА<sup>4\*</sup>

*Реферат.* На части территории, занятой городом Балчик, развивается крупнейший трехярусный оползень. Первый ярус образуют гигантские блоки мергелей и известковистых глин с горизонтальным расположением слоев, отывающихся от плато и медленно сползающих к морю по поверхности глин. По мере оползания скорость смещения увеличивается. Второй ярус составляют межблоковые массивы с наклонным расположением слоев, образующиеся в межблоковых пространствах при их заполнении породами, сползающими со склонов блоков. Третий ярус составляют пропилюстные оползни различного типа, развивающиеся в продуктах выветривания на межблоковых массивах. Описывается механизм сложного оползания. Борьба с оползнями первого и второго яруса неосуществима. Даётся прогноз оползания и рекомендации по строительству.

Оползневая полоса у города Балчика имеет ширину 400—600 м; у плато склон переходит в крутой откос высотой 40—50 м. Оползни Балчика по своей сложности и грандиозности представляют исключительное природное явление. Они придают своеобразный, незабываемый облик этому древнему городу (рис. 1).

Над линией городских домов господствуют громадные удлиненные гряды—оползневые блоки с сохранившимся почти горизонтальным расположением пластов, хорошо видных благодаря обнаженности почти отвесных склонов этих блоков. Абсолютная высота блоков уменьшается по направлению к морю: наиболее близкий к плато блок Джини-баир имеет высоту 120 м над уровнем моря, расположенный восточнее блок Ак-баир—высоту 105 м, а находящийся ближе к морю крупный блок Сусам-баир—всего 65—70 м. У самого морского берега находится блок Сиври-тепе высотой около 50 м (рис. 2, б).

Пространства между блоками заполнены породами, сползшими со склонов блоков и образовавшими межблоковые массивы. При этом сползании положение пластов изменилось, и в настоящее время эти пласти залегают под различными углами. Межблоковые массивы в нижней своей части в значительной мере сохранили компактное сло-

<sup>1</sup> Результаты совместных научных исследований Болгарской Академии наук и Академии наук Арм. ССР.

<sup>2</sup> Зав. секцией инженерной геологии и гидрогеологии.

<sup>3</sup> Зав. Лабораторией геомеханики Академии наук Арм. ССР.

<sup>4</sup> Научный сотрудник Секции инженерной геологии и гидрогеологии.

\* Геологический Институт Болгарской Академии наук, София.

движение, а в верхней части подверглись выветриванию. В верхних частях блоков на склонах развиваются неглубокие оползни различного типа.

Городские постройки располагаются на участках межблочных массивов. Указанные неглубокие оползни вызывают разрушение зданий и деформации сооружений. Всего в городе Балчике за последние десятилетия было разрушено свыше 300 зданий. Особенно активен сворачательный оползень в районе улицы Москвы, шириной порядка 1400 м и длиной около 120 м.

Параллельно с геологическими и геоморфологическими исследованиями Добруджанского побережья частично изучалось строение оползней Балчика, начиная еще с 1928 г. (Lepsi, 1928; Берегов, 1941; Попов, 1953; Каменов и Демирев, 1965; Rašek and Rybař, 1969).

Движение крупных блоков г. Балчика совершается столь медленно, что их долгое время считали неподвижными. Соответственно, не придавалось значения внутренним деформациям межблочных массивов. Природа и механизм оползней Балчика оставались неясными, и на этот счет делались различные предположения.

Для более полного изучения геологического строения, механизма и динамики Балчикских оползней в 1966—1970 гг. были проведены комплексные исследования, включавшие в себя инженерно-геологическое картирование, бурение 8 глубоких и 15 неглубоких скважин, исследование образцов грунта, режимные геодезические наблюдения и изучение абразии (Демирев и Стоева, 1968; Кунтыш и др., 1969). На рис. 3 показан геологический разрез по линии блоков Джини-баир и Сиври-тепе, построенный в результате этих исследований.

#### ПРИРОДНЫЕ УСЛОВИЯ.

Город Балчик расположен в северной части Болгарского побережья Черного моря, у обращенного к югу обширного Добруджанского плато, возвышающегося над уровнем моря на высоту 180—200 м (рис. 2, а). Плато сложено почти горизонтально-залегающими породами сарматского возраста. Сарматские отложения по литологическим признакам разделяются на три толщи.

Нижняя толща представлена твердо-пластичными известковистыми пылеватыми глинами, глинистыми мергелями и тонкозернистыми слабо сцепленными песчаниками. Консистенция известковистых глин характеризуется следующими величинами:  $w_L$  от 58 до 90,  $w_p$  от 41 до 62,  $I_p$  от 17 до 28 при естественной влажности от 40 до 48 %. Сопротивление одноосному сжатию  $q_u$  около 10 кг/см<sup>2</sup>; имеется прослоек с  $q_u = 4-5$  кг/см<sup>2</sup>. Мощность нижней толщи в обнажениях морского берега юго-западнее г. Балчика не превышает 50—60 м.

Средняя толща представлена мергелями, глинистыми мергелями и глинистыми известняками. Нижняя часть толщи содержит многочисленные глинистые прослойки; в верхней части толщи располагаются толстослоистые мергели и глинистые известняки, переслаивающиеся беловатыми известковистыми глинами и песчанистыми глинистыми мергелями. Мощность средней толщи превышает 100 м; она обнажается на всем прибрежном склоне.

Верхняя толща образует поверхность плато; она представлена органогенными кавернозными известняками мощностью до 15—20 м. Вследствие денудации ее мощность уменьшается к бровке плато.

Сарматские слои характеризуются слабым наклонением на северо-восток (на 1—3°). Палеогеновый фундамент разбит на блоки. Дизъюнктивные нарушения фундамента установлены буровыми скважинами и геофизической разведкой (Димитров, 1959). Вертикальные движения

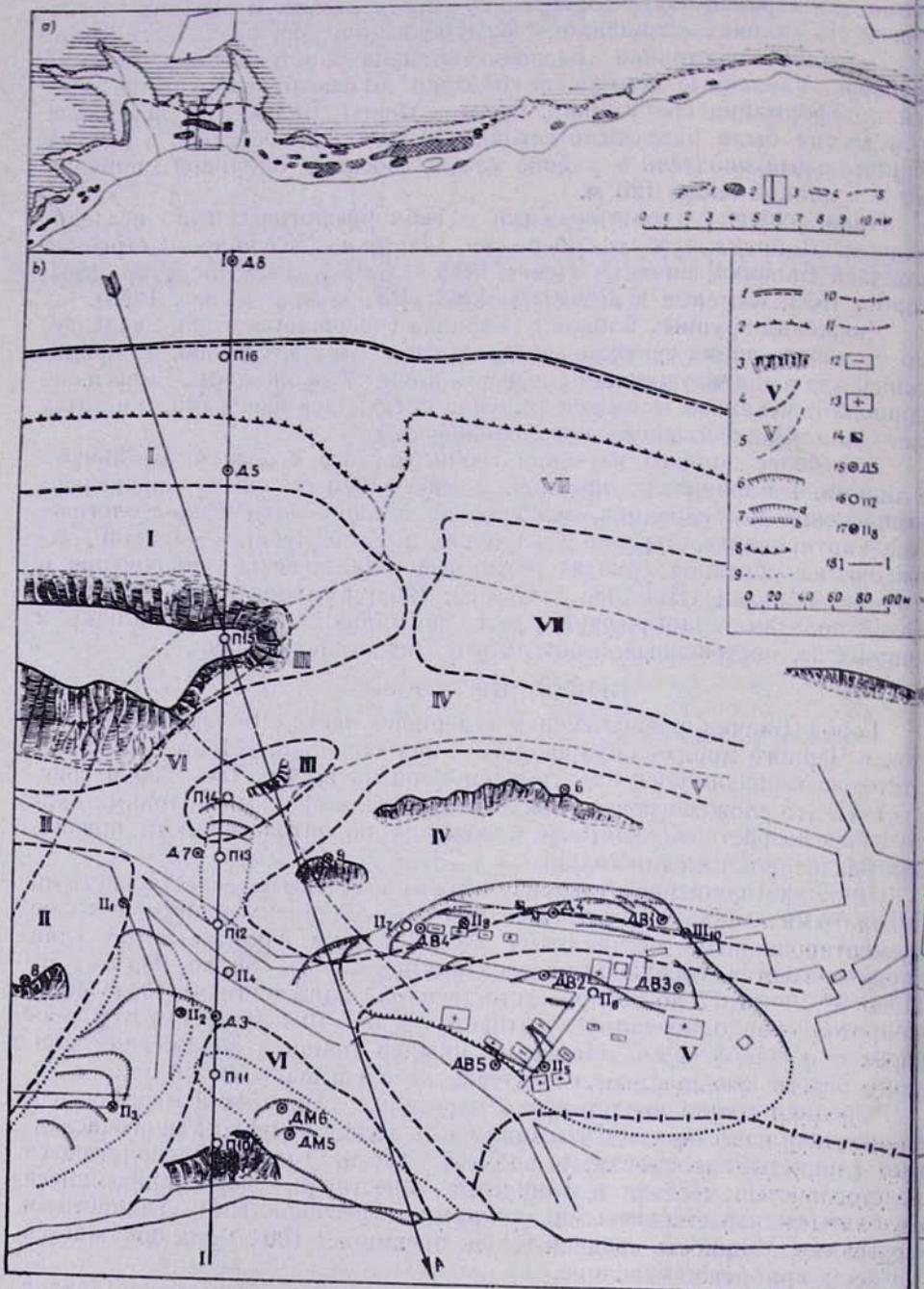


Рис. 2. Балчикская оползневая полоса. а) Схема прибрежной полосы; 1—Добруджанскоe плато; 2—большие оползневые участки; 3—оползневой участок, показанный на рис. 2, б; 4—останцы чаудинского моря; 5—приблизительное положение береговой линии в чаудинское время. б) Схема оползней города Балчик; 1—бровка плато; 2—подземное подножье плато; 3—обрывистые вершины блоков; 4—современное положение подземного подножья блоков и их номера; 5—первоначальное положение подземного подножья блоков и их номера; 6—главная стенка отрыва оползней; 7—оползневые

этих блоков с различным знаком и интенсивностью отражаются на сарматском покрове. В послеплиоценовое время Добруджанское плато испытывало преимущественно неравномерное поднятие. Наиболее древний чаудинский абразионный уровень прослеживается с перерывами на отметках от 95—100 до 150—160 м (рис. 2, а).

Район характеризуется высокой сейсмической активностью, доходящей до 10 баллов по международной шкале.

В верхней толще сарматы формируются карстовые и трещинные воды, часть которых дренируется к береговому склону на отметке кровли средней толщи сарматы в виде концентрированных и рассеянных источников. Трещинные воды имеются и в средней литологической толще сарматы.

Оползни нарушили первоначальный режим подземных вод склона; в скважинах подземные воды встречаются на различных уровнях. Вблизи морского берега подземные воды встречаются на отметке до +10 м. В направлении к склону подземные воды встречаются на более высоких отметках—от 25 до 65 м. Подземные воды оказывают влияние на устойчивость склона вследствие уменьшения прочности пород, из-

трещины с положительной (*a*) и отрицательной (*b*) амплитудой; 8—оползневой язык; 9—граница оползня вне оползневых трещин; 10—современное положение края новочерноморской террасы; 11—предполагаемое положение края новочерноморской террасы при ее образовании; 12—деформированные здания; 13—разрушенные здания; 14—деформационный колодец; 15—глубинный репер и его номер; 16—поверхностный репер и его номер; 17—наблюдательная марка; 18—линия профиля (рис. 3); *A*—направление движения блоков; *M*—улица Москвы. Блоки: I—Джинни-баир; II—Сусам-баир; III—у

Стадиона; IV—Восточный, V—у Консервного завода; VI—Сиври-тепе.  
Чл. 2. **Р**иалзифи **ун**тапан<sup>к</sup>яжб **к**ошф. а) **д**оп<sup>к</sup>ваффи **ս**խեման. 1—**Գ**арրուզայի **բ**արձրավանդակը. 2—**Խ**ոչոր **ս**ողանքների **վ**այրը. 3—նկ. 2, **Ե**-ում **ց**ուց տված **ս**ողանքային **վ**այրը. б) **Բ**ալզիկի **ք**ամի **ս**ողանքները. 1—**բ**արձրավանդակի **կ**ատարը. 2—**բ**արձրավանդակի **ս**տորերկրյա ժիմքը. 3—**բ**լոկիների **գ**արիփայր զավաթները. 4—**բ**լոկիների **ս**տորերկրյա ժամանակակից ժիմքը և **դ**րանց համարները. 5—**բ**լոկիների **ս**տորերկրյա սկզբանական ժիմքը և **դ**րանց համարները. 6—**ս**ողանքների **պ**ատոման զիմավոր պատը. 7—**ս**ողանքային ճեղքաժգները **դ**րական (а) և **բ**ացասական (б) ամպիլիտուդայով. 8—**ս**ողանքների **լ**եզուն. 9—**ս**ողանքների **ս**ահմանը **ս**ողանքային ճեղքաժգներից զուրս. 10—նոր **Ա**նոնվյան զարատափի եղրի ժամանակակից զիմքը. 11—նոր **Ա**նոնվյան զարատափի առաջացման ժամանակում եղրի ենթարկվող դիրքը. 12—ձեսփոխված շենքը. 13—բանդված շենքը. 14—բաց խորքային սողը հորը. 15—խորքային սողանքային կետը և **դ**րա համարը. 16—մակերեսային սողանքային կետը և **դ**րա համարը. 17—դիման մարկան. 18—I-I պրոֆիլի զիծ (նկ. 3) A—**բ**լոկիների տեղաշարժման ուղղությունը. M—**Մ**ոսկվայի փոցը. **Բ**լոկիներ՝ I—ջինիք-բաիր. II—Սուսամ-բաիր. III—Ստագիռոնի մոտ. IV—Արեւլյան.

**Fig. 2. Balchik sliding zone.** a) Scheme of seaside: 1—Dobrudja plateau; 2—big landslide areas; 3—landslide area shown on Fig. 2. b.) Scheme of Balchik town landslides. 1—crown of plateau; 2—underground base of plateau; 3—abrupt tops of blocks; 4—recent position of underground base of blocks and their number; 5—original position of underground base of blocks and their number; 6—main scarp of landslides; 7—landslide fissures with a positive (a) and negative (b) amplitude; 8—landslide tongue; 9—landslide boundaries outside of landslide fissures; 10—recent position of edge of the New Black Sea terrace; 11—supposed position of edge of the New Black Sea terrace at its formation; 12—deformed buildings; 13—demolished buildings; 14—open depth creep well; 15—depth bench mark and its number; 16—surface bench mark and its number; 17—observational mark; 18—profile line (Fig. 3); A—direction of block movement; M—Moscow street. Blocks: I—Djini-bahir; II—Soosam-bahir; III—at Stadium; IV—Eastern; V—at Cannery; VI—Sivri-tepe.

менения деформационных свойств и консистенции, усиления процессов выветривания и др.

В плиоцене рассматриваемый прибрежный район был сушей с высотами около 200 м от современного уровня моря. Сарматские отложения подвергались эрозионно-денудационным процессам, но условий для возникновения крупных оползней на побережье не существовало. Чаудинская трансгрессия вызвала изменение физико-географических условий и возникновение небольших четвертичных оползней. К этому времени надводная часть склона не была высокой и большая часть энергии волн расходовалась на переработку его подводной части. Неоднократно наступавшие резкие изменения разности уровней плато и моря в послечаудинское время маркируются останцами более низких абразионных уровней на склоне, которым соответствуют отдельные этапы развития оползней. Об этом свидетельствуют останцы морских террас, расположенных над оползневыми пакетами. Местами эти террасы изменили свое положение в результате продолжающегося процесса оползания. Возникновение новых и активизация старых оползней наблюдается и в современную эпоху при существующем уровне моря.

Образование оползающих блоков на Балчинском побережье и их медленное смещение к береговой полосе в геологическое время создали своеобразную морфологию морского берегового склона, которая оказывала воздействие на гидродинамические процессы. Достигавшие морского берега денудированные блоки подвергались интенсивной абразии. В голоцене на передовых блоках вырабатывались абразионные террасы; такими являются новочерноморские террасы на останцах блоков, на которых расположены консервный завод и новый городской пляж и нимфейская терраса на блоке городского пляжа. От остальной части посленимфейской выравненности в настоящее время сохранились узкие пляжевые полосы.

У самого морского берега на участке между консервным заводом и городским пляжем возвышается блок Сиври-тепе, где сформировался и клиф, подвергающийся интенсивной абразии. Размеры блока быстро уменьшаются; за последние 60—70 лет от большой площадки на его вершине осталось едва несколько квадратных метров, и блок Сиври-тепе принял форму конуса. Между тем, из старой английской морской карты 1854 года масштаба 1 : 39130 видно, что ширина площадки на вершине блока составляла не менее 60 м (Plans, etc. 1854).

Наблюдения по абразионным реперам у клифа блока Сиври-тепе в 1965—1969 годы показали, что перемещение клифовой зоны к морю составляет 0,06—0,35 м в год, ширина абрадированной полосы достигает 2 м и объем размытых оползневых и обрушенных масс этого блока 8400 м<sup>3</sup>. В 1969 г. после интенсивного штормового периода обрушилась значительная часть блока Сиври-тепе, деформировались и разрушились соседние дома с участком береговой подпорной стены.

#### МЕХАНИЗМ ОПОЛЗНЯ

Под механизмом оползания понимается совокупность промежуточных состояний и условий перехода от одного состояния к другому, определяющие протекание оползневого процесса. В основе исследования механизма оползания лежит изучение кинематики процесса, т. е. движения отдельных элементов, слагающих оползень. Эти исследования базируются на анализе годографов скоростей оползания, оползневых трещин в грунте и деформации сооружений. Теоретические основы этого метода и опыт его применения на оползнях освещены в других публи-



Рис. 1. Общий вид оползневого склона в г. Балчике (фото Я. Пашека, Прага).  
 1—Момчиловски рид; 2—Сиври-тепе; 3—Сусам-баир; 4—Джини-баир; 5—Стадион;  
 6—Добруджанскоe плато; 7—труба Консервного завода; 8—улица Москвы;  
 9—Ак-баир.

Նկ. 1. Բալշիկ քաղաքի սողանքային լանջի ընդհանուր տեսարան (լուսանկար Ց. Պաշեկի, Պրագա)։ 1—Մոմչիլովսկի ռիդ. 2—Սկվրի-թևիկ. 3—Սոսամ-բայիր. 4—Զինի-բայիր. 5—Մոտաղիսն. 6—Դորրուգժայի սարահարթ. 7—պահածոների գործարանի ծխնելուց. 8—Մոսկվայի փողոց. 9—Ակ-բայիր։

Fig. 1. General view of the sliding slope in the town of Balchik (photo by J. Pashuk, Prague). 1—Momchilovski rid; 2—Sivri-tepe; 3—Soosam-bahir; 4—Djini-bahir; 5—Stadium; 6—Dobrudja plateau; 7—chimney of the cannery; 8—Moscow street; 9—Ak-bahir.

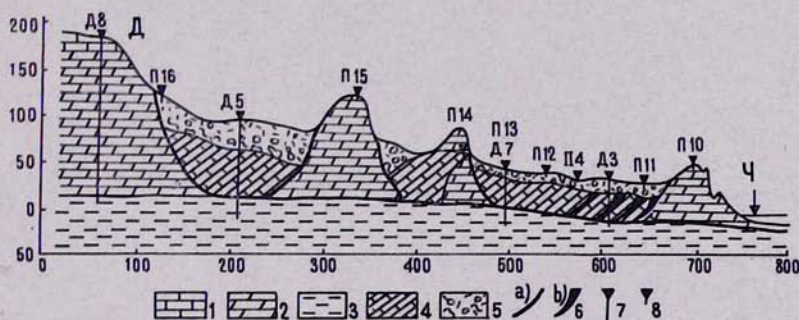


Рис. 3. Поперечный профиль оползней по линии I—I. 1—известняки (верхняя толща сарматы); 2—известняки глинистые и известковистые мергели (средняя толща сарматы); 3—глины и известковистые глины (нижняя толща сарматы); 4—наклонные пласты глинистых и известковистых мергелей (смещенные пакеты); 5—нарушенные выветрельные породы (оползневые массы); 6—проявившиеся поверхности и зоны оползания (а) и потенциальные зоны оползания (б); 7—поверхностный оползневой репер; 8—глубинный оползневой репер.

Նկ. 3. Սողանքի I—I զգի երկարության կարգածքը. 1—կրաքարեր (սարմատյան վերին շերտեր). 2—կավային և կրային մերգելներ (սարմատյան միջին շերտեր). 3—կավային և կրային կավեր (սարմատյան ներքին շերտեր). 4—կավային և կրային մերգելների թեք շերտեր (տեղաշարժված շերտեր). 5—խախտված հողմնաշարզած ապարներ (սողացող զանգվածներ). 6—սողունության մակերեսութեներ և զոտիներ՝ (a) իրական և (b) պոտենցիալ. 7—մակերեսույթային սողանքաւոր կետեր. 8—խորացին սողանքաւոր կետեր:

**Fig. 3. Cross-section of the landslide along line I—I.** 1—limestones (Sarmatian upper layers); 2—limestones, clayey and calcareous marls (Sarmatian middle layers); 3—clays and calcareous clays (Sarmatian lower layers); 4—inclined strata of clayey and calcareous marls (displaced layers); 5—disturbed weathered rocks (sliding masses); 6—actual surface and zone of sliding (*a*) and potential zone of sliding (*b*); 7—surface bench mark; 8—depth bench mark.

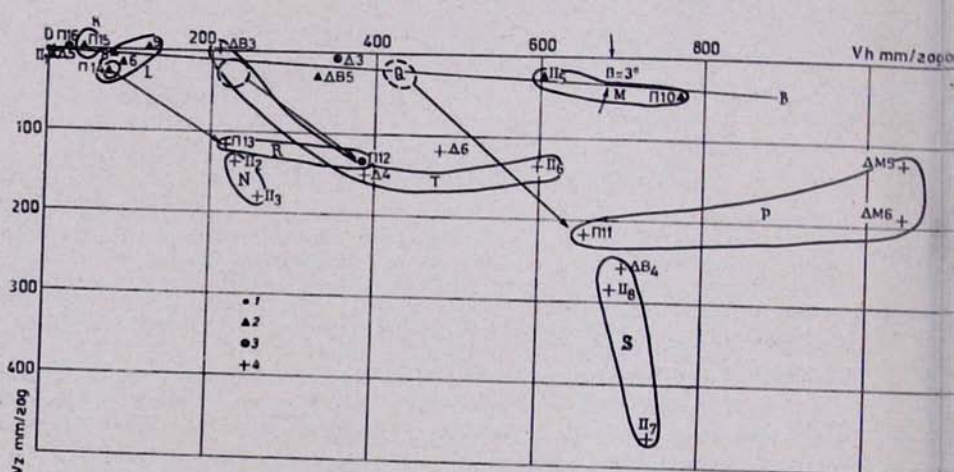
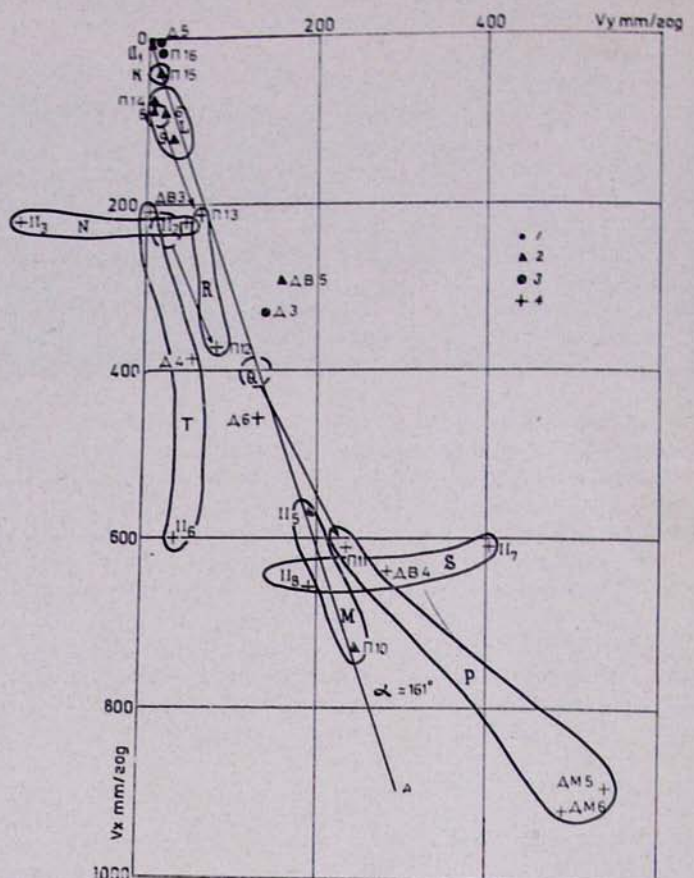


Рис. 5. Годограф вертикальных скоростей смещения реперов в 1968—1969 гг. Обозначения см. рис. 4. Линия В—направление смещения блоков на вертикальной плоскости. № 5. 1968—1969 рр.  $\Delta$  определены в табл. 4. В табл. 5 приведены коэффициенты для определения координат блоков в 1968—1969 гг.

Fig. 5. Hodographs of vertical displacement rates of bench marks in 1968-1969. For designation—see Fig. 4. Line B—direction of block displacement in vertical plane.

Рис. 4. Годограф горизонтальных скоростей смещения реперов в 1968—1969 гг. 1—неподвижная точка на плато; 2—точка на оползающем блоке (I ярус оползания); 3—точка на межблоковом массиве (II ярус оползания); 4—точка на приповерхностном оползне (III ярус оползания). Сплошными линиями очерчены различные области оползания, показанные на рис. 2. Линия А—направление смещения блоков на горизонтальной плоскости.

№4. 1968—1969 гг. 1—неподвижная точка на плато; 2—точка на оползающем блоке (I ярус оползания); 3—точка на межблоковом массиве (II ярус оползания); 4—точка на приповерхностном оползне (III ярус оползания). Сплошными линиями очерчены различные области оползания, показанные на рис. 2. Линия А—направление смещения блоков на горизонтальной плоскости.

Fig. 4. Hodographs of horizontal displacement rates of bench marks in 1968—1969; 1—unmovable bench mark on plateau; 2—bench mark on a creeping away block (I story of sliding); 3—bench mark on an inter-block massif (II story of sliding); 4—bench mark on a subsurface landslide (III story of sliding). Different areas of sliding shown on Fig. 2 are outlined by thick line. Line A—direction of block displacement in horizontal plane.

кациях (Тер-Степанян, 1969; Тер-Степанян и др., 1970, 1971) и здесь не приводятся.

#### Наблюдения за смещениями оползневых точек

Для изучения смещения точек на оползневом склоне в Балчике, начиная с 1966 года была установлена наблюдательная сеть, которая в дальнейшем была сгущена.

Измерения производились по реперам двух типов: поверхностные и глубинные. Поверхностный репер представляет собой отрезок асбосцементной трубы диаметром 18 см и длиной 3 м, зарытый в землю заподлицо с поверхностью; вверху устроена бетонная головная часть диаметром 40 см и высотой 60 см; ее верхняя кромка защищена коротким отрезком асбосцементной трубы диаметром 40 см. На поверхности бетона сделана полусферическая головка с нанесенным на нее крестом. При измерении над крестом устанавливается визир. Глубинный репер отличается от поверхностного тем, что по оси репера пробурена буровая скважина. Она обсажена отрезками асбосцементных труб, соединенных гибкими пластмассовыми рукавами. Трубы пропилены с двух сторон почти на полное сечение (оставлена соединительная часть шириной 5 см). Пропили сделаны на расстоянии 30 см друг от друга. Трубы служат для установления положения поверхности скольжения путем промеров верхней недеформированной части. Особенностью этой конструкции является возможность выпирания репера при общей осадке грунта вокруг него. Подобное явление наблюдается на репере Д4, расположенному в головной части вращательного оползня; в настоящее время этот репер возвышается на один метр над уровнем окружающего грунта.

Измерения смещений реперов в плане определялись методом триангуляции, со сторонами треугольников порядка 100—300 м. Вертикальные смещения определялись методом тригонометрического нивелирования.

Всего было проведено 5 циклов наблюдений в 1966, 1967, 1968, 1969 и 1970 годах и по результатам измерений определены приращения координат  $\Delta x$ ,  $\Delta y$  и  $\Delta z$  для каждого интервала времени между циклами наблюдений. Так как все геодезические измерения производились практически в одно и то же время года (август), то величина приращения координат может рассматриваться, как составляющая годичной скорости смещения  $v_x$ ,  $v_y$  и  $v_z$ . Таким образом, анализ оползания может базироваться на результатах измерений за 4 интервала времени. Однако в первом интервале (1966—1967) сеть не была еще полностью

установлена и отсутствуют данные о нескольких важных пунктах; в последнем интервале (1969—1970) не наблюдался ряд точек, уничтоженных оползнями. Наиболее полные данные относятся к интервалу времени между 1968—1969 годами. Этот интервал был принят в качестве основного при анализе оползания.

#### Анализ оползания

Для обработки результатов подсчета величины компонент скорости оползания строятся два графика. Первый график (рис. 4) изображает горизонтальную плоскость. Откладывая по осям координат величины компонент  $v_x$  и  $v_y$ , получаем точку, которая представляет собой конец горизонтальной проекции  $v_h$  вектора скорости оползания; начало этого вектора находится в начале координат. На следующем графике (рис. 5), по оси абсцисс откладываются величины горизонтальной проекции вектора  $v_h$ , а по оси ординат — скорость осадки  $v_z$  репера. Полученная точка представляет собой конец полного вектора оползания; начало же его также находится в начале координат.

Полученные таким образом графики (рис. 4 и 5) наглядно показывают характер оползания склона в интервале времени между августом 1968 и августом 1969 гг. Для удобства анализа для различных групп реперов приняты разные условные знаки. Вблизи от начала координат находится пункт П16. Репер П16 расположен у подножья плато; на графиках он показан точкой.

**Блоки.** На вертикальной плоскости годографов отчетливо выделяется группа точек, обозначенных черными треугольниками. Эта группа точек расположена на одной линии *B*, образующей небольшой угол наклона с горизонтом. Сюда относятся точки, расположенные на блоках с нормальным положением пластов: П15 на блоке Джини-баир, П14 на блоке у Городского стадиона, 6 и 9 на Восточном блоке, 8 на блоке Сусам-баир и П10 на блоке Сиври-тепе.

Вблизи от линии *B* находятся еще две точки (ДВ5 и П<sub>2</sub>), что позволяет отнести их к тому же классу. Эти точки расположены у языка вращательного оползня, развивающегося между Восточным блоком и останцом террасы, на которой расположен консервный завод. Бурение репера ДВ5 показало, что здесь в основании залегают породы с нормальным расположением пластов, т. е. терраса образовалась на абразированном блоке. Реперы П<sub>5</sub> и ДВ5 испытывают влияние вращательного оползня, которое главным образом сказалось на увеличении горизонтальной составляющей скорости смещения. Поэтому истинная скорость смещения блока у консервного завода должна быть существенно меньше измеренной, вероятно около 160 м/год.

Небольшой блок у Городского стадиона характеризуется репером П14. К востоку от него расположен крупный Восточный блок, смещение которого устанавливается по реперам 6 и 9.

На горизонтальной плоскости годографов (рис. 4) все точки, отвечающие блокам (черные треугольники), расположены в одной узкой полосе *A*, имеющей азимут 161°. На геологическом профиле 1—1 (рис. 3) основания блоков по линии разреза установлены геологическим методом. Приняв, что уширяющиеся подземные части блоков имеют во всех случаях тот же уклон, что и на профиле 1—1, были определены подземные контуры блоков. Эти контуры показаны жирным пунктиром на плане оползней (рис. 2, б); тонкий пунктир показывает первоначальное положение блоков. Направление смещения блоков показано стрелкой *A*; оно отвечает линии *A* на рис. 4.

На этом плане ясно вырисовывается характер движения блоков. Они сползают по своему основанию, образуя межблочные пространст-

ва. Величина смещения каждого блока может быть определена достаточно точно. Результаты измерений приведены в табл. 1. В ней приведены также результаты измерения скорости смещения реперов по всем четырем интервалам, и вычислены средние скорости смещения блоков.

На рис. 6,а показана зависимость между средней скоростью смещения блоков и пройденным расстоянием (кривая А). Точки на графике лежат вполне упорядоченно, что говорит о существовании явной закономерности: чем больше пройденное расстояние, тем большее скорость смещения блоков. Такое ускоряющее разбегание блоков от плато является общей характеристикой этого вида оползания.

**Межблоковые массивы.** Следствием разбегания блоков от плато с увеличивающейся скоростью является прогрессирующее расширение межблоковых пространств, вызывающее сползание масс со склонов и формирование межблоковых массивов.

Таблица 1 Table 1

Величина, скорость и время от начала смещения блоков

Բակների տեղաշարժման մեծությունը, արագությունը և ժամանակը տեղաշարժի սկզբից

Amount, rate and time from the beginning of the displacement of blocks

Блок	<i>Բլոկ</i>	Block	s	Репер Bench mark	Скорость, мм/год Արագություն, մ/տարի Rate, mm/year					t	T
					1966—1967	1967—1968	1968—1969	1969—1970	средняя <i>միջին</i> average		
Джини-байр	<i>Զինի-բայր</i>	Djini-bahir	54	П 15	—	13	35	13	22	2400	9250
Сусам-байр	<i>Սոսամ-բայ-</i> <i>ր</i>	Soosam- bahir	95	8	82	19	81	47	57	3600	10450
У стадиона	<i>Ստադիոնի</i> <i>յան</i>	At Stadium	100	П 14	88	28	73	53	61	3690	10540
Восточный	<i>Արևելյան</i>	Eastern	135	16 19	55 120	55 57	89 124	213 209	114	4120	10970
У консерв- ного завода	<i>Կաներանի</i> <i>գործարանի</i> <i>մաս</i>	At Cannery	162	ЛВ5 II <sub>5</sub>	— —	134 102	330 605	— —	292 (160)	4320	11170
Межблоко- вой массив	<i>Միջնակային</i> <i>զանգված</i>	Inter-block massif	212	Д3	238	185	355	391	294	4560	11410
Сиври-тепе	<i>Սիվրի-թէփէ</i>	Sivri-tepe	244	П10	487	399	772	798	611	4650	11500

s—общее смещение в метрах; t—время от начала второго интервала в годах; T—время от начала смещения в годах.

s—ընդհանուր տեղաշարժ մետրով. t—ժամանակը երկրորդ ենտերվալի սկզբից տարիներով. T—ժամանակը տեղաշարժի սկզբից տարիներով:

s—total displacement, metres; t—time from the beginning of the second interval, years; T—time from the beginning of the displacement, years.

Движение межблоковых массивов в чистом виде регистрируется двумя глубинными реперами—Д5 в верхней части склона и Д3 в нижней. Однако, скорость смещения репера Д5 находится в пределах точности измерения. Остальные реперы, размещенные на межблоковых массивах испытывают дополнительное влияние приповерхностных оползней. Только после разложения сложных смещений на составляющие, относящиеся к различным ярусам оползания оказалось возможным проанализировать механизм их оползания.

Лучше всего изучен крупный Центральный межблоковый массив, расположенный между блоками Сусам-баир, Стадиона, Восточного Консервного завода и Сиври-тепе. Здесь на створе, образованном реперами П14 и П10 расположены реперы П13, П12, Д3 и П11. На движении реперов П13 и П12 отражается движение небольшого присоединенного оползня (рис. 2.б). Репер П11 расположен в головной части вращательного оползня. Разлагая сложное движение этих реперов на составляющие (рис. 4 и 5), можно получить величину вероятной скорости смещения Центрального межблокового массива в его различных пунктах. Эти данные приведены в табл. 2.

На рис. 5,б по оси абсцисс показан створ между реперами П14 и П10, а по оси ординат—скорости смещения точек межблокового массива в интервале 1968—1969 г. На графике В обозначает участки блоков М—участок массива. В левой части графика видно, что скорость смещения массива (репер П13) определяется скоростью движения блока (репер П14). Блок производит давление на межблоковый массив, и на контакте в напряженной зоне развивается небольшой плоскостной оползень. В межблоковом массиве увеличение скорости смещения проходит по отчетливо выраженному линейному закону (реперы П128, Д3 и П11). Это показывает равномерное расширение межблокового пространства. Указанная закономерность нарушается у примыкания к блоку Сиври-тепе. Последний смещается быстрее, чем примыкающий к нему межблоковый массив. В результате вдоль контакта между блоком Сиври-тепе и межблоковым массивом возникает разрежение, вызывающее развитие вращательного оползня (реперы П11, ДМ5 и ДМ6).

Кривые на рис. 5,а и 5,б не являются аналогичными, так как в первом случае по оси абсцисс отложены расстояния, пройденные блоками в процессе оползания в геологическое время, а во втором—современные расстояния точек от блока Стадиона.

Движение реперов межблочного массива улицы Москвы существенно осложнено крупным врача гельным оползнем.

Таблица *погрешностей*. Table *of errors*.

Скорость смещения реперов Центрального межблокового массива в 1968—1969 гг.

скорости смещения реагентов центрального междугородного массива в 1968—1969 г.

Репер Нեղեց Benchmark	Расстояние от репера П14, м Հեռավորությունը Պ14 սեղեցից, մ Distance from bench mark П14, m	Скорость смещения, мм/год Տեղաշարժի արագությունը, մմ/տարի Displacement rate, mm/year	
		поляна լրիվ total	собственно массива բնօք զննավածքը massif itself
П14	0	80	80
П13	43	250	80
П12	92	405	225
Д3	158	355	355
П11	198	685	425
П10	248	770	770

**Приповерхностные оползни.** В приповерхностной зоне, в продуктах выветривания межблочных массивов развивается несколько небольших оползней в западной части участка и один более крупный оползень — в восточной.

В западной части участка развивается упомянутый выше оползень у реперов П13 и П12, направленный к югу. Он отличается равномерной скоростью оползания.

Второй оползень западной части участка находится в нижней части склона. Он направлен к юго-востоку и характеризуется реперами П11, ДМ6 и ДМ5. Это вращательный оползень отступательного типа; в нижней его части развиваются открытые трещины. В настоящее время происходит разрушение берегоукрепительной стенки, расположенной у его нижнего конца (область Р на рис. 4 и 5).

Третий небольшой оползень развивается у южного склона блока Сусам-баир. Он характеризуется рядом оползневых трещин. На этом оползне расположены реперы II<sub>2</sub> и II<sub>3</sub>.

Крупный вращательный оползень развивается в восточной части участка, в районе улицы Москвы. Здесь наблюдаются многочисленные концентрические опущенные трещины, иногда с отрицательной амплитудой. Большая часть зданий на участке разрушена, остальные несут следы оползневых деформаций. Оползень наступательного типа, очаг оползания расположен в районе реперов ДВ4, II<sub>7</sub> и II<sub>8</sub>. Оползневые смещения определяются на основании большого количества реперов. Правая часть этого оползня смещается быстрее, чем левая (области S и T на рис. 4 и 5).

#### *Характеристика механизма оползней*

Оползни города Балчика представляют собой весьма своеобразный вид денудации берегового склона плато. Жесткие породы плато, лежащие на некомпетентных породах нижней толщи сармата, подстилающиеся в свою очередь жесткими палеогеновыми блоками, под действием вертикальных движений различной интенсивности, находятся в сложном напряженном состоянии. Катастрофические землетрясения, из которых в историческое время некоторые достигали 10 баллов, а в последний период геологического развития — возможно и более высокой интенсивности, вызывают раскалывание жестких покровных толщ. Это раскалывание происходит преимущественно параллельно карнизу плато, т. е. в направлении наибольшей концентрации касательных напряжений. Таким образом дается начало нарушению непрерывности массива. Отковавшиеся удлиненные блоки начинают передвигаться по направлению к морю. Скорость в начале процесса ничтожна и ее трудно обнаружить с помощью обычных измерений. Одним из следствий начинаящегося смещения блоков является нарушение естественной структуры пород. Бурение репера Д8, произведенное на плато недалеку от его карниза (рис. 2) обнаружило на глубине 125 и 153 м наличие пород, в которых, судя по лабораторным данным, происходит глубинная ползучесть. Она проявляется как пластично-вязкое течение материала, в котором вследствие сползания значения реологических характеристик снижены: порог ползучести от 1,8 до 0,3 кг/см<sup>2</sup> и динамическая вязкость от  $3,3 \times 10^7$  до  $2,6 \times 10^6$  кг/см<sup>2</sup>.

По мере развития процесса сползания жестких блоков мергелей и известняков по глинистому основанию, происходит отделение блоков от коренного массива, вначале в виде разделяющих их рвов, а затем, и более глубоких ложбин. В образующееся между блоками пространство с прилегающими склонами медленно сползают массы пород, изменяя при этом движении ориентацию слоев. Как движение блоков, так и формирование межблочных массивов происходит в фазе глубинной ползучести, т. е. напряжения никогда не достигают величины, отвечающей полной мобилизации сопротивления сдвигу.

Скорость смещения блоков постепенно возрастает; однако она из-

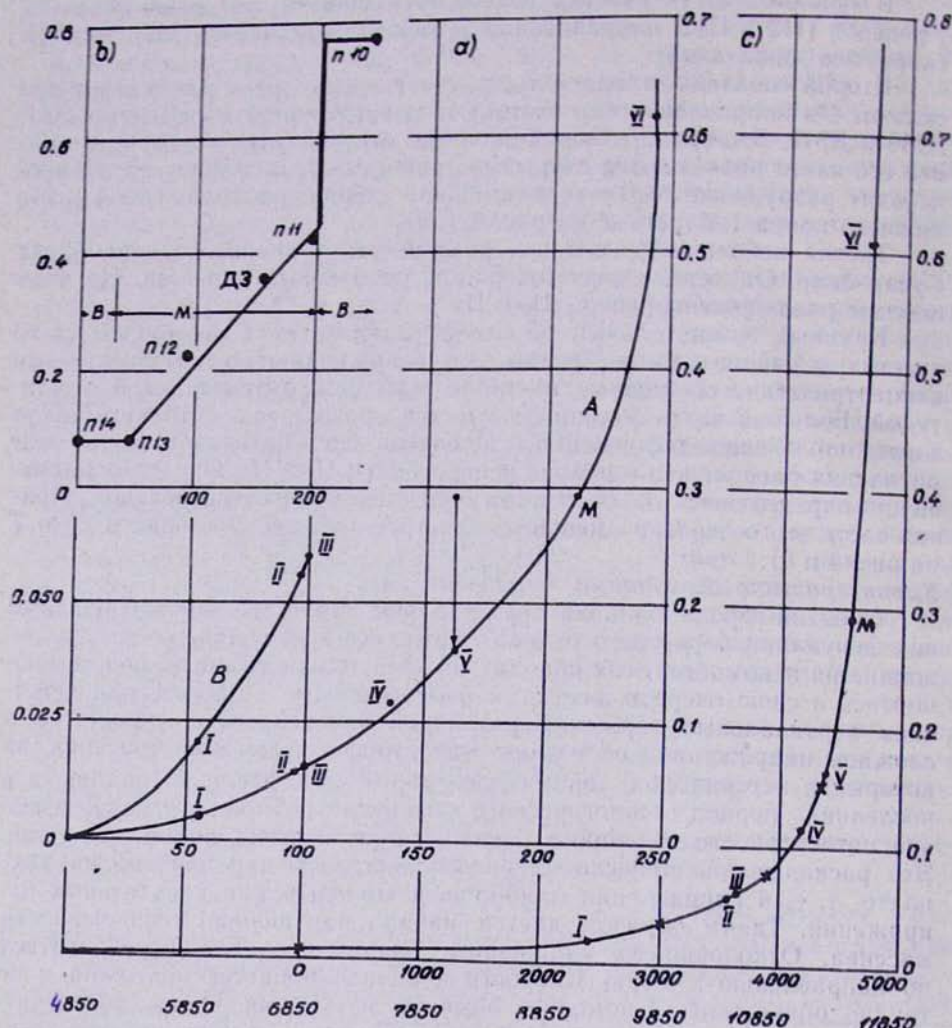


Рис. 6. а) Зависимость между величиной пройденного расстояния и средней скоростью смещения блоков за 1966—1970 годы. Обозначения блоков см. рис. 2, б; М—Центральный межблочный массив. Абсциссы—пройденное расстояние в метрах, ординаты—средняя скорость смещения в метрах в год (слева—для начального участка, справа—для всей кривой). б) Зависимость между расстоянием репера на Центральном межблочном массиве от репера П14 и скоростью смещения в интервале 1968—1969 гг. В блоки; М—массив. Абсциссы—расстояние в метрах, ординаты слева—скорость в метрах в год. в) Зависимость между временем и скоростью смещения блоков в 1966—1970 гг. Обозначения блоков—см. рис. 2, б. М—межблочный массив. Абсциссы в верхней строке—время в годах от начала второго интервала, в нижней строке—тоже от начала расположения блоков; ординаты справа—скорость смещения в метрах в год.

в год.  
нк. б. а) Անցած տարածության և 1966—1970 րր. բլկերի տեղաշարժի միջին արագության հարաբերակցությունը. Բլկեների նշանավորումները՝ տես նկ. 2, б; Արցիսներ՝ անցած տարածությունը մետրով. օրդինատներ՝ տեղաշարժի միջին արագությունը մետրով տարում (ձախից՝ սկզբնական մասի համար, աջից՝ ամրացված հորագծի համար); բ) Կենտրոնական միջրուկային զանգվածի ռեպերների հետալուրությունը Պ14 ռեպերից և 1968—1969 րր. տեղաշարժի արագության միջև հարաբերությունը. Բ—բլկեր, Մ—զանգվածը. արցիսներ—հեռալորությունը մետրով, օրդինատները՝ ձախից—արագությունը մետրով, տարում; с) Ժամանակի և

мечется малыми величинами (рис. 6). Так, при прохождении пути порядка 30 м скорость составляет около 10 мм в год, при прохождении пути 100 м—60 мм в год; пути 170 м—200 мм в год и при прохождении пути 240 м—600 мм в год. Эти цифры наглядно показывают увеличение скорости при движении блоков.

Блоки представляют собой первый ярус оползания; они перемещаются жестко, не деформируясь. Наклон векторов их смещения по отношению к горизонту определяется наклоном поверхности скольжения; он составляет около 3° (линия В, рис. 5).

На всем исследованном склоне легко различаются три ряда блоков, обладающих различной активностью. Наименее активным является западный ряд, в который входит блок Сусам-баир. Его наибольшее смещение от коренного плато небольшое (вероятно около 95 м); у его подножья сохранились новочерноморская и нимфейская террасы: на них расположен городской пляж. Более активным является восточный ряд блоков; к нему относятся блоки у Городского стадиона, Восточный и у Консервного завода. Наибольшее смещение в этом ряду достигло 1162 м; самый нижний блок этого ряда был абрацирован при формировании новочерноморской террасы; нимфейская терраса здесь не сохранилась. Наиболее активным является средний ряд. К нему относятся блоки Джини-баир и Сиври-тепе. Наибольшее смещение блока Сиври-тепе достигает 244 м, обе террасы у подножья полностью уничтожены вследствие абразии и в настоящее время происходит усиленное разрушение самого блока.

Межблоковые массивы представляют собой второй ярус оползания. Они перемещаются частично по общей поверхности скольжения по глиям нижней толщи, а частично—по подземным продолжениям склонов основных блоков.

Скорость перемещения межблоковых массивов определяется скоростью перемещения соседних блоков; в вертикальном направлении межблоковые массивы испытывают компенсационную осадку, средняя величина  $u_z$ , которой определяется из выражения  $u_z = (v_1 - v_2)h/l$ , где  $v_1$  и  $v_2$  скорости смещения соседних блоков,  $h$ —высота межблоко-вого массива и  $l$  его ширина.

На выветрелой поверхности межблоковых массивов развиваются приповерхностные оползни различного типа, в зависимости от геологических, гидрогеологических и геометрических условий. Здесь были

բակերի 1966—1970 թթ. տեղաշարժի միջին արագույթին հարցիրակցությունը: Նշանակումներ՝ տես. նկ. 2, ե. Արդիաներ՝ վերելի տողում՝ ժամանակը երկրորդ ինտերվալի սկզբից տարիներով, ներքեւ տողում՝ նույնը բլոկների տարասովման սկզբից, օրդինատներ՝ տեղաշարժման արագույթումը մետրերով տարում:

Fig. 6. a) Relationship between the passed distance and average displacement rate of blocks in 1966—1970. For designation of blocks—see Fig. 2, b; M—inter-block massif. Abscissas—passed distance in meters, ordinates—average rate of displacement in meters per annum (on the left for the initial part, on the right—for the whole curve). b) Relationship between the distance of bench marks on the Central inter-block massif from the bench mark П14 and the rate of displacement in interval 1968—1969. B—blocks; M—massif. Abscissas—distance in metres, ordinates on the left—rate in metres per annum. c) Relationship between time and displacement rate of blocks in 1966—1970. For designation of blocks—see Fig. 2, b. M—Central inter-block massif. Abscissas in the first line—time in years from the beginning of second interval, in the second line—that from the beginning of creeping away of blocks; ordinates on the right—displacement rate in metres per annum.

встречены вращательные и плоскостные оползни с различным расположением оползневого очага. Эти оползни располагаются над межблоковыми массивами, преимущественно на участках контакта этих массивов с блоками. Они стимулируются движением более глубоких зон и обладают неравномерной скоростью смещения. В активные периоды они находятся в фазе среза, т. е. в них полностью мобилизуется сопротивление сдвигу, в более спокойные периоды они находятся в фазе глубинной ползучести. Нельзя однако их рассматривать как обычные оползни, находящиеся на вполне устойчивом фундаменте. Вследствие неравномерного смещения их фундамента, эти оползни более чувствительны к изменениям природной обстановки и труднее достигают стабилизации. Приповерхностные оползни образуют третий ярус оползней.

Описанный выше своеобразный механизм оползней Балчика является единственным в своем роде. Расползание блоков в значительно меньших масштабах наблюдается во многих местах. С. Шарп описывает несколько случаев медленного смещения жестких блоков по поверхности глин в штатах Нью-Йорк и Виргиния (Sharpe, 1938). В Лабиринте в Хосте, у Сочи блоки верхнемеловых известняков шириной 6–8 м расползаются по поверхности напластования, падающей под углом 10°. Как и в Балчике, скорость расположения увеличивается в мере движения; поэтому ширина проходов между блоками в верхней части склона составляет 3–5 см и достигает 12 м в нижней части (Тер-Степанян, 1967).

#### *Определение времени оползания*

Связь между средней скоростью смещения и пройденным расстоянием (рис. 6, а, кривая А) позволяет определить время оползания блоков. Однако решение задачи по уравнению

$$T = \int_0^{s_0} \frac{ds}{f(s)}, \quad (1)$$

где  $v = f(s)$  и  $s_0$  — пройденное расстояние, некорректно, поскольку при  $s = 0$ ,  $v = 0$ , откуда  $T = \infty$ . Наибольшую величину пройденное блоками расстояния 244 м разбиваем на два интервала: 0–24 м и 24–244 м. Второй интервал разделяем на 10 участков по  $\Delta s = 22$  м, определяем ординаты  $v = f(s)$  для границ каждого участка, вычисляем ординаты перевернутой функции  $F(s) = 1/f(s)$  и пользуясь формулой графического интегрирования Симпсона, находим время смещения блоков во втором интервале  $t = (\Delta/3) \sum k F(s)$ , где  $k$  — множитель. Результат расчёта показан на рис. 6, с, участок АВ. Таким образом блок Сиври-тепе, сместившийся к настоящему времени на 244 м и обладающий скоростью 0,614 м/год, 4650 лет тому назад прошел расстояние  $s_1 = 24$  м и двигался со скоростью  $v_1 = 0,007$  м/год. Исходя из прямолинейности начального отрезка кривой АВ, принимаем, что в первом интервале смещение было также равномерно-ускоренным, находим длительность его из соотношения  $t_1 = 2s_1/v_1 = 2,24/0,007 = 320$  лет. Тогда время начала сползания каждого блока составляет  $T = 4650 + t_1$ , где  $t_1$  — абсцисса точки на кривой зависимости между временем и скоростью оползания во втором интервале, соответствующая наблюденной скорости смещения (рис. 6, с). Так, для блока у

Стадиона имеем  $v = 0,061 \text{ м/год}$ , откуда по графику  $t = 3690$  лет, и время начала сползания  $T = 6850 + 3690 = 10540$  лет. Подсчитанные таким образом величины вписаны в последний столбец таблицы 1.

Из таблицы можно заключить, что имелся некоторый период времени, отстоящий от нашего времени на 8—11 тысяч лет назад, когда произошел отрыв блоков, и что в дальнейшем блоки не отрывались. Однако такой вывод ошибочен. Величина ускорения блоков в первом интервале составляет  $a = v_1/t_1 = 0,007/6850 = 1 \cdot 10^{-6} \text{ м/год}^2$ . Отсюда блок, оторвавшийся в начале нашей эры, должен иметь в настоящее время скорость  $v = at = 1 \cdot 10^{-6} \cdot 2 \cdot 10^3 = 2 \cdot 10^{-3} \text{ м/год}$  и пройти за это время расстояние  $s = at^2/2 = 1 \cdot 10^{-6} \cdot 4 \cdot 10^6/2 = 2 \text{ м}$ .

Вследствие глубинной ползучести пород со склонов, такое смещение блоков маскируется компенсационным оседанием и может быть обнаружено в рельфе лишь в виде неглубоких рвов.

Скорость смещения, равная 2 м/год находится в пределах точности геодезических измерений. Остается еще один индикатор — падение сопротивления сдвигу пород в результате нарушения структуры; как указывалось, такие породы были обнаружены на плато на глубинах 125 и 153 м.

Отсюда следует, что вероятно отрыв блоков продолжается, но что блоки оторвавшиеся в течение последних тысячелетий просто не обнаруживаются в виду небольшого пройденного расстояния, и мы имеем возможность изучить лишь те блоки, которые оторвались несколько тысячелетий назад.

### ПРОГНОЗ И РЕКОМЕНДУЕМЫЕ МЕРОПРИЯТИЯ

Блоковые оползни первого яруса представляют собой грандиозное природное явление, медленно протекающие на береговой полосе. Это сползание находится в фазе глубинной ползучести и никогда не перейдет в фазу среза. Участки жестких блоков вполне пригодны для строительства. Для возможности его осуществления, эти участки блоков должны быть хорошо оконтурены, так как показанные на рис. 2, б границы блоков построены по приближенным данным.

Сползшие межблоковые массивы второго яруса являются результатом компенсационных движений. Они также находятся в фазе глубинной ползучести, и также никогда не перейдут в фазу среза, но в отличие от участков блоков не обладают равномерной и достаточно высокой жесткостью. Здесь всегда возможны небольшие деформации приспособления (адаптации). В верховой части склона, вследствие общих небольших скоростей смещения блоков деформации приспособления также невелики. Эти участки могут быть использованы для строительства; учитывая возможность проявления местных деформаций основания, строительство должно осуществляться с учетом этого обстоятельства. Здания должны иметь простую форму в плане, длинные здания должны иметь осадочные швы, этажность небольшая. Следует избегать применения неразрезных конструкций, фундаменты должны иметь усиленное армирование. Капитальные сооружения здесь нежелательны.

В средней и в особенности, в нижней части склона межблоковые массивы не должны застраиваться. Допустимы только легкие сооружения на участках, где отсутствуют оползни третьего яруса.

Противооползневая деятельность в отношении оползней первого и второго яруса практически невозможна. Борьба с оползнями третьего яруса возможна. При установлении типа противооползневых сооружений необходимо учитывать, что основание оползней также является подвижным, и поэтому эти сооружения должны быть приспособлены к указанным условиям.

**ԲԱԼՋԻԿԻ (ԲՈՒԼՂԱՐԻԱ) ԵԽԱՀԱՐԿ ԲԱՐԹ ՍՈՂԱՆՔԻ ՄԵԽԱՆԻԶՄԸ<sup>1</sup>:**

Բուլղարկան ԳԱ անդամ-քրպակից, պրոֆեսոր ԲՈՅԱՆ ԿԱՄԵՆՈՎ<sup>2</sup>,

պրոֆեսոր, տէխն. գիտ. դոկտոր ԳԵՐՈՎ ՏԵՐ-ՄՏՏԵՓԱՆՅԱՆ<sup>3</sup>,

ԵՐԿՐԱՐ, միներ. գիտ. բնկանադու ԽՅԱՆ ԽԸՆՎԱ<sup>4</sup>,

ԵՐԿՐԱՐԱՆՆԵՐ ԳԻՒՆԿԱ ՍԻՄԵՈՆՈՎԱ և ԷՂԱՆ ԱՎՐԱՄՈՎԱ-ՏԱԶԵՎԱ<sup>5</sup>.

Ան ֆերամ. Բալջիկ բաղարի տերթորիայի մի մասի վրա զարդառում է հսկայական էլեկտրիկ սողանք. Առաջին հարկը կազմում են հսկայական բլոկների և կրային կավերի շերտերի հորիզոնական դասավորությամբ, որոնք պոկինով երգրավանդակից կավերի մակերեսությունը զանազան սողում են դեպի ծովում երկրորդ կարգը կազմում են միջըրյան կամպավագունքը շերտերի մեջ զասպառումով, որոնք առաջանում են միջբլոկների տարածություններում, բլոկների լանջերից սողացող ապարներով լցվելու հետևանքով; Երրորդ հարկը կազմում են տարրեր տիպի ենթամակերնույթային սողանքներ, որոնք զարդառում են միջըրյան զանգվածքների վրա գտնվող հողմանարգած նյութերում; Նկարագրվում է բարդ սողության մեխանիզմը: Առաջին և երկրորդ հարկի սողանքների հետ պայտարը անիրազութելի է: Տրվում են սողության կանխագուշակումը և հանձնարարություններ շինարարության համար:

**ԵՐԿՐԱԲԱՆՈՒԹՅՈՒՆ**

Բալջիկը գտնվում է Սև ծովի Բուլղարական ափի Հյուսիսային մասում, Դոբրոչա բարձրավանդակի ստորոտում: Բարձրավանդակը ծովի մակերեսությունը մոտ 180—200 մ բարձր է:

Բարձրավանդակը կազմված է համարյա հորիզոնական, սարմատյան հասակի շերտերից: Դրանք բաժանվում են երեք մասի, ներքենը՝ կարծրավառակի կրային կավեր, միջնը՝ կրաքարեր ու մերգելներ և վերեկինը՝ օրգանածին խոռոչավոր կրաքարեր: Ստորագիր պալեոգենյան շերտերը շարդված են բլոկների. դրանց տարրերը նշանով և ինտենսիվությամբ ուղղածիք շարժումները ազդում են սարմատյան նստվածքների վրա: Երջանը սեյսմիկ ակտիվ է (10 բալ ըստ միջազգային սանդղակի): Պիլոցինում շրջանը ցամաք էր: Զառուցյան ժամանակից հետո տեղի ունեցան ծովի մակրագակի մի քանի փոփոխություններ: Գետանաջրերն առաջանում են ծածկող սարմատյան վերին կրաքարերում. դրանց մի մասը ցամաքուրգվում է դեպի սողորագիր կրաքարերի և մերգելների միջով՝ աղբյուրների ձևով:

**Սողանքներ**

Զառուցյան ժամանակից հետո զարդացան խոչոր սողանքներ: Սողանքային գոտին գտնվում է բարձրավանդակի ստորոտի և ծովափի միջն, լայնությունը՝ 400—600 մետր է: Այս վայրը ավարտվում է շատ դեպ լանջով՝ 40—50 մ բարձրությամբ: Հսկայական երկարավուն թումբեր (սողացող բլոկներ) համարյա հորիզոնական շերտավորությամբ իշխում են բաղադրի վրա (նկ. 1): Բարձրավանդակի հարեւան ջինի-բարի և Ակ-բարի բլոկները ունեն 120 և 105 մ բարձրություն, համապատասխանութեն, իսկ Սուսամ-բարի բլոկը՝ 65—70 մ (նկ. 2, ծ): Մովափի մոտ է տեղագրված Սիլիրի-թեփե բլոկը, մոտ 50 մ բարձրությամբ: Այդ բլոկը ներկայում ինտենսիվ աբրազիվայի է ենթարկվում: Այդ մեծ բլոկների արանքում եղած տարածության մեջ գտնվում են թեք շերտերով ապարների ավելի փոքր զանգվածներ: Դրանք սողանքել են մեծ բլոկների լանջերից և լցրել այդ տարածությունները: Միջբլոկային զանգվածները ծածկող գրունտներում զարգանում են ծանծաղ ենթամակերեսությային սողանքներ: Քաղաքը կառուցված է միջբլոկային զանգվածքների վրա, որի պատճառով

<sup>1</sup> Բուլղարական Գիտությունների ակադեմիայի և ՀՍՍՀ Գիտությունների ակադեմիայի համատեղ գիտական հետազոտությունների արդյունքները:

<sup>2</sup> Ինժեներական երկարանության և գետնաշրաբահության սեկցիայի վարիչ:

<sup>3</sup> ՀՍՍՀ ԳԱ Գեոմեխանիկայի լաբորատորիայի վարիչ:

<sup>4</sup> Ինժեներական երկարանության և գետնաշրաբահության սեկցիայի գիտական աշխատող:

<sup>5</sup> Ավարները և աղյուսակները տե՛ս էջ 6—19:

уползанійні рівні по півдні та півночі: Фаундапоніт քвініфікіс ավելի քан 300 շնр: Упініліяни фінінгі պատашакан սողанін ամենասակітілін է:

Բաւілікі սողанін рівні по північній կонці կашпінгівадрі և մեխанізмі ուսումնասիր-рівнітінір հիմнівад է 8 жуп և 15 ու խոր հорівашанінгінірі, բազմіց անալізінірі և 30 սողанін рівні по північній կітівірі տեղաշарժման շափումնірі վրա, որը կаштарліл է 5 տարվա ընթացքում (1966—1970):

Տեղանірі երկրաբանական կտրվածքը I—I գծի երկարությամբ տրվում է նկ. 3-ի վրա: Մերգենірі և կրաքարերի բլіндінірը շարժվում են կավերի վրա-յով: Բլіндінірі տեղաշարժման արագությունը ցուց է տրված աղյուսակ 1-ում: Սողունուրյան վերլուծությունը

1966, 1967, 1969 և 1970 թվականներին կատարվեց գեղեցիկական շափումների հիմք սերիա: Քանի որ այդ բոլոր շափումները կատարվել էին տարվան նույն ժամանակին (օգոստոս), կոռորդինատների աճը կարող է դիտվել որպես տեղաշարժի տարեկան արագության բաղադրիչների աճ՝ ոչ և ոչ այլպիսով սողունության վերլուծումը կարող է հիմնվել չորս ժամանակամիջոցների համար շափումների 1968—1969 թվականների ժամանակամիջոցի համար ընդունված էին որպես հիմնական: Վերլուծման տեսական հիմունքները և դրա կիրառման փորձը հրատարակվել են (Տեր-Ստեփանյան և այլք, 1970, 1971):

1968—1969 թթ. ժամանակամիջոցի համար շափումների արգումները դափրված են 4 և 5 նկալների վրա, որոնք ներկայացնում են սողունության հողոգրաֆները: Առաջին գծագիրը (նկ. 4) հորիզոնական հարթությունն է ոչ և Ս կոռորդինատային առանցքներով. վերջինը (նկ. 5)՝ ընդհանուր տեղաշարժման վեկտորի ուղղությամբ ուղղածից հարթությունն է ոչ և Ս կոռորդինատային առանցքներով:

Հողոգրաֆների ուղղածից հարթությունում լավ են տարբերվում սև և սուանկունիների միջոցով նշված մի քանի կետեր (նկ. 5): Այդ կետերի խումբը ընկած է Բ գծի երկարությամբ, որը կազմում է մի փոքր անկյուն հորիզոնի հետ (մոտ 3°): Դրանց համապատասխանող սողանքային կետերը տեղադրված են բլոկների վրա (Π15-ը՝ Զինի-թափիրի վրա, Π14-ը՝ բաղաքային ստագիոնի բլոկի վրա, և 6 և 9-ը՝ Արեելլան բլոկի վրա, 8՝ Սուսամ-թափիրի վրա և Π10-ը՝ Միկրի-թեփի բլոկի վրա): Այդ կետերը հողոգրաֆների հորիզոնական հարթության վրա (նկ. 4) գտնվում են մի ներ Ա շերտիկի երկարությամբ 161° աղյուսակով:

Ընդունելով, որ բլոկների լանջերը գետնի տակ շարունակվում են նույն ուղղությամբ ինչպես վերկում (նկ. 3) կարելի է ուրվագծել բլոկների հիմքերը (նկ. 2, 3) և հաշվարկել բլոկների ընդհանուր տեղաշարժը: Այդ շափումների արգումները տրված են աղյուսակ 1-ում:

Տեղաշարժման միջին արագության և բլոկների անցած ճանապարհի մեջ եղած հարաբերությունը ցուց է արված նկ. 6-ում: Ակնհայտ է, որ տեղաշարժման արագությունը մեծանում է հեռավորության աճի հետ: Բլինների այդպիսի արագացող շարժումը բարձրավավանդակից այդ տիպի սողանության ընդհանուր յուրահատկությունն է: Դրա հետեւանքն է միջբլոկային տարածության առաջընթաց լայնացումը. դա հարուցում է ապարների սահումը բլոկների լանջերից և միջբլոկային զանգվածների գոյացումը:

Միջբլոկային զանգվածների հողմնահարված ծածկույթի վրա զարգանում են մի քանի ենթամակերեւության ծանծաղ սողանքներ: Այդ սողանքների հողոգրաֆները կազմում են զոտիներ, որոնք համապատասխանում են նախապես նկարագրված առանձնահատուկ վայրերին (Տեր-Ստեփանյան և այլք, 1970). նկ. 4 և 5-ի վրա այդ զոտիները ուրվագծված են:

Տեղանի արևմտյան մասում Π12 և Π13 կետերի մոտ կա մի փոքր հարթային սողանք, որը հավասարաշափ շարժվում է երկրորդը՝ արևմտյան մասում, Π11, ΔM6 և ΔM5 կետերի մոտ մի նահանջող սողանք է: Դրա լեզվի մոտ գտնվող ծովափնյա պատը քանդվում է այդ սողանքի հետեւանքով:

**Տեղանքի Արևմտյան մասի երրորդ փոքր սողանքը գտնվում է Սուսամբակի բլոկի հարավային լանջի վրա (կետեր Ա<sub>2</sub> և Ա<sub>3</sub>):**

**Տեղանքի արևելյան մասում զարգանաւ է մի մեծ պտտական սողանք: Այստեղ նկատվում են բազմաթիվ համակենտրոն ձեղքեր: Ենթարկի մեծամասնությունը բանդվել է, մացածները դեֆորմացիայի են ենթարկվել: Սողունությունը առաջընթաց տիպի է (կետեր ԴԲ4, Ա<sub>2</sub> և Ա<sub>3</sub>):**

**Տեղանքի հարավ-արևելյան մասը գտնվում է բլոկի վրա և դանդաղ շարժվում է դեպի ծովը. բլոկի վրա տեղադրված է պահածոների գործարանը: Սողանքային ԴԲ5 և Ա<sub>3</sub> կետերը արտացոլում են պտտական սողանքի լրացուցիչ աղդեցությունը: Բլոկի սեփական տեղաշարժի արագությունը կարող է գնահատվել 160 մմ տարում մեծությամբ:**

**Սողունության մեխանիզմը**

**Բաշիկի սողանքները ներկայացնում են բարձրավանդակի ծովային եզրի լեռկացման առանձնահատուկ տիպ:**

**Ոչ-կոմպետենտ կավերի վրա պառկած սարմատյան կարծր ապարները գտնվում են բարդ լրաված վիճակում ստորադիր պալեոգենյան բլոկների ուղղաձիգ շարժմանների հետևանքով, որը կատարվում է տարբեր ինտենսիվությամբ և նշանավոր: Աղետային երկրաշարժերի ինտենսիվությունը պատմական ժամանակ հասնում էր 10 բարի. դրանք հավանական է ավելի ուժեղ էին երկրաբանական զարգացման վերջին ժամանակաշրջանում, որը և առաջարեց բարձրավանդակի կարծր ապարների փուլում: Փլուզումը կատարվում էր գլխավորապես բարձրավանդակի եղրին զուգահեռ, շոշափող լրաւուների առավելացույն կենսորունացման ուղղությամբ: Այդպիսով խախտվում էր բարձրավանդակի անընդհանությունը:**

**Պոկված երկարավուն բլոկները սկսեցին շարժվել դեպի ծով: Շարժման արագությունը սկզբում չնշին էր. դա չի կարող բացահայտվել սովորական շափումների մեթոդով: Բլոկների սկսվող տեղաշարժման հետևանքը է ապարների գիմագության նվազումը. դա բացահայտվեց բարձրավանդակի վրա Ձ8 ռեզերի հորատման ժամանակի, 125 և 153 մ խորության վրա (նկ. 2,б):**

**Կավերի շերտի վրայով կարծր բլոկների սողքին զուգընթաց բլոկները անշատվում են բարձրավանդակից, սկզբում ինչպես ծանծաղ առուներ, իսկ հետո որպես ավելի խորը իշեցումներ: Ապարների զանգվածները դանդաղ սողում են հարակից լանջերից բլոկների արանքում առաջացող տարածության մեջ, փոխելով շարժման ընթացքում շերտերի կողմնորոշումը: Բլոկների տեղաշարժը և միջբլոկային զանգվածների առաջացումը միշտ մնում են խորքային սողքի փուլում, այսինքն լարումները երբեք չեն հասնում մեծությունների, որոնք համապատասխանում են սողքի դիմագրության լրիվ՝ մորիկից առաջմանը:**

**Բլոկների տեղաշարժի արագությունը աստիճանաբար աճում է, սակայն սկզբում դա փոքր էր: Այսպիսով, 30 մ ձանապարհ անցնելուց հետո արագությունը մոտ 10 մ/մ տարի է, 100 մ տեղաշարժումից հետո՝ 50 մ/մ /տարի, 170 մ տեղաշարժումից հետո՝ 200 մմ/տարի և 240 մ տեղաշարժումից հետո՝ 600 մմ/տարի: Այս թվերը ցույց են տալիս բլոկների տեղաշարժման արագության աճը:**

**Բլոկները ներկայացնում են սողունության առաջին հարկը. դրանք տեղաշարժվում են կոշտ առանց դեֆորմացիայի: Տեղաշարժման վեկտորների թերությունը 3° է (գիծ B, նկ. 5):**

**Հստ ակտիվության հեշտությամբ են տարբերվում բլոկների երեք շարք: Նվազագույն ակտիվ է արևմտյան շարքը Սուսամ-բակի, բլոկով: Այդ բլոկի ընդհանուր տեղաշարժը մեծ չէ (հավանաբար մոտ 95 մ): Նորասեծովյան և նիմֆեյան դարատափերը պահպանվել են այդ բլոկի ստորոտում, որի վրա գտնվում է բաղաբային պլամեր: Ավելի ակտիվ է արևելյան շարքը՝ բաղաբային ստագիոնի և պահպանների գործարնի բլոկների հետ: Դրանց առավելացույն տեղաշարժը հասել է 162 մ: Այս շարքի ամենացածր բլոկը լրացվել էր արբագիայի հետևանքով նորասեծովյան դարատափի առաջացման ժամա-**

ակ. Նիմֆեյան դարատափը այստեղ չի պահպանվել: Ամենաակտիվն է մի-  
ային շարքը Զինի-բաիր և Սիվրի-թեփիք բլոկներով: Վերջինի առավելագույն  
տեղաշրջը 244 մ է. դրա ստորոտում դարատափերը լիովին աբրազիալի են  
և նթարկվել: Աւճմ արդ բլոկը արտգ բանդվում է:

Միջըլոկային զանգվածքները սողունության երկրորդ հարկն են: Միջըլոկային զանգվածքների հորիզոնական տեղաշարժի արագությունը որոշվում է հարակից բլոկների տեղաշարժի արագությամբ. ուղղաձիգ ուղղությամբ այդ զանգվածքները ենթարկվում են լրացոցից կոմպենսացման նստման միջոկային տարածությունների ընդլայնման հետևանքով: Դրա միջին մեծությունը հավասար է  $u_z = (v_1 - v_2)h/l$ , որտեղ  $v_1$  և  $v_2$  հարակից բլոկների արագությունն է, իսկ  $h$  և  $l$  զանգվածքի բարձրությունը և լայնությունն են համապատասխանորեն:

Ամենից լավ ուսումնակրթած են մեծ Կնտրունական միջբոկային զանգպահը (ուսպեքը Պ13, Պ12, Ձ3 և Պ11):

Այդ ռեպերների արագության և ռեպեր Պ14-ից հեռավորության միջև կախումը ցուց է արված աղյուսակ 2-ի և նկ. 6, b-ի վրա: Եթեում է, որ 1) ստադիոնի մոտի բլոկը հաղորդում է իր արագությունը միջբլոկային զանգվածքին (Պ14 և Պ13 ռեպերների արագությունը հավասար է). 2) միջբլոկային զանգվածքը հավասարաշափ ընդարձակվում է (արագությունները հավասարաշափ աճում են). 3) միջբլոկային զանգվածքի և առջեր գտնվող Սիվրի-թեփեր բլոկի միջև առաջանում է նոսրացում (ռեպեր Պ10 շարժվում է ավելի արագ):

Սողոմոնովթյան երրորդ հարկին են մի քանի տարբեր տիպի ենթամակերեսվությալին սողանքներ, որոնք զարգանում են դելուսվիյում, կախված երկրաբանական, գետնաշրաբանական և երկրաշափական պայմաններից: Այստեղ հանդիպում են պտտական և հարթային սողանքներ, սողանքային օջախի տարբեր տեղադրությամբ: Այդ սողանքներն ունեն տեղաշրածի անհավասարաշափ արագություններ: ակտիվ ժամանակաշրջանում գտնվում են կտրման փուլում, հանդիսանակաշրջանում՝ խորքային սահմանականությամբ:

Բալշիկի սողանքների յուրահատուկ մեխանիզմն իր տեսակի մեջ միակը չէ: Բլոկների տարասովումը զգալիորեն փոքր մասշտաբով դժուվում է բազմաթիվ տեղերում (Sharpe, 1938): Սոչի մոտ կաբիթինթոսում 6—8 մ լայնությամբ վերին կավճային կրաքարերի բլոկները սողում են  $10^{\circ}$  անկման անկյուն ունեցող շերտավորության մակերևույթով: Սոլունության արագությունը աճում է տեղաշարժի հետ միասին: Հետեւաբար բլոկների միջև անցումները լայնությունը լանջի վերին մասում կազմում է 3—5 սմ և հասնում է 12 մ ստորին մասում (Տեր-Մտեհիան, 1969):

Տեղաշարժի միջին տարագության և սողքի Տ տարածության հարաբերակցությանը (նկ. 6,ա) հնարավորություն է տալիս գտնել Տ ժամանակը, որն անցավ բլոկների տեղաշարժի սկզբից: Սողքի առավելագույն տարածությունը 244 մ բաժանվում է երկու ինտերվալի՝ 0—24 մ և 24—244 մ, ժամանակի և սողունության արագության հարաբերակցությունը (նկ. 6,ց) գտնվում է օդ-տագործելով երկրորդ ինտերվալի համար Սիմպոնի գրաֆիկական ինտերվալման բանաձևը և ընդունելով հավասարաչափ արագացող շարժում առաջինի համար: Հաշվարկած մեծությունները տրված են աղյուսակ 1-ի վեցին ստունակում:

Ճիշտ չեր լինի եղրակացնել աղյուսակ 1-ից, որ կար մի ժամանակաշրջան, մոտ 8—11 հազար տարի առաջ, երբ բոլոր բլոկները պոկվեցին բարձրավանդակից և հետո այդ պրոցեսը դադարեց: Պրոցեսը շարունակվում է, բայց այն չեր կարող սկզբնական ժամանակաշրջանում բացահայտվել տեղաշարժի փոքր արագության հետևանքով: Այդպիսով մի բլոկ, որը պոկվեր մեր դարաշրջանի սկզբում, պետք է ունենա տեղաշարժի արագություն 0,002 մ/տարում և անցներ միայն 2 մ տարածություն: Այդպիսի տեղաշարժի արագությունը գտնվում է չափումների սխալի սահմաններում:

Սոլունուրյան կանխագույշակումը և հանձնարարվող միջցառումները:

Առաջին հարկի բլոկների սողանքը մի հսկայական բնական երկույթ է, որը դանդաղ կատարվում է ծովափում: Այդ ընթացքը խորքային սողքի փուլումն է և երբեք չի անցնի կտրման փուլին: Կարծր բլոկները կարող են օգտագործվել շինարարության համար:

Երկրորդ հարկի միջըլոկային զանգվածները նույնպես գտնվում են խորքային սողքի փուլում և երբեք չեն անցնի կտրման փուլին, բայց ի տարբերություն բլոկների՝ դրանք կարծր չեն: Այստեղ հնարավոր են հարմարեցման դեփորմացիաներ, հատկապես ծովափի կողմերում: Կառուցումը հնարավոր է բարձրավանդակին հարակից մասերում: Ծենքերը պլանում պետք է լինեն պարզ, երկար շենքերը պետք է ունենան նստման կարեր, հիմքերը պետք է ուժեղացվեն: Պետք է խուսափել բազմահարկ կամ կապիտալ շենքերից և ոչ կտրովի կոնստրուկցիաներից: Միջըլոկային զանգվածները միջին և հատկապես լանջի ցածր մասերում չպետք է կառուցապատճեն:

Երրորդ հարկի սողանքների հետ պայքարը անիրազորելի է: Երրորդ հարկի սողանքների հետ պայքարը հնարավոր է, պետք է հաշվի առնել, որ այդ սողանքների հիմնատակը շարժուն է, այդ պատճառով կոնստրուկցիաները պետք է հարմարեցնել տվյալ պայմաններին:

## MECHANISM OF THE COMPLEX THREESTORIED LANDSLIDE IN BALCHIK, BULGARIA<sup>1</sup>

Boyan KAMENOV, Prof., Corr.Mem., Bulgarian Ac. Sc.<sup>2\*</sup>,

George TER-STEPANIAN, Prof., Dr.Techn.Sc.<sup>3</sup>,

Ilya ILIEV, Cand.Geol.Miner.Sc.<sup>4\*</sup>, Ginka SIMEONOVA, Geologist<sup>4\*</sup>  
and Elka AVRAMOVA-TACHEVA, Geologist<sup>4\*</sup>

**S Y N O P S I S.** A big threestoried landslide is being developed on a part of area of town Balchik in Bulgaria. The first story are giant blocks of marls and carboniferous clays with horizontal layers which break away from plateau and creep slowly over clay surface toward the sea; the rate of displacement increases as the creep proceeds. The second story are masses of rocks with inclined layers formed in spaces between blocks by their filling with rocks creeping from the block slopes. The third story are subsurface landslides being developed in the loose products of weathering on massifs located between blocks. The mechanism of the complex sliding is described. Control of first and second story landslides is unfeasible. Prognosis of sliding and recommendations for construction are given.

### Geology

Balchik is located in northern part of the Bulgarian coast of the Black Sea, at the foot of Dobrudja plateau. The plateau is raising on the height 180—200 meters above the sea level. The plateau is composed of almost horizontal layers of Sarmatian (Miocene). They are divided into three parts: lower one—hard-plastic lime clay; middle one—limestones and marls; upper one—organogeneous cavern limestones. The Paleogene underlying beds

<sup>1</sup> Results of scientific investigations made jointly by the Bulgarian and Armenian Academies of Sciences.

<sup>2</sup> Head, Section of Engineering Geology and Hydrogeology.

<sup>3</sup> Head Laboratory, of Geomechanics, Armenian Academy of Sciences.

<sup>4</sup> Scientific Worker, Section of Engineering Geology and Hydrogeology,

\* Geological Institute, Bulgarian Academy of Sciences, Sophia.

are broken into blocks; their vertical movement with different signs and intensity influences the Sarmatian deposits. The region is seismically active (intensity 10 according to the international scale). In the Pliocene the region was a dry land. There were several alternations of the sea-level in the post-Chaudi time. Ground water is formed in the covering Sarmatian upper limestones; part of them is drained to the sea through the underlying limestones and marls in form of springs.

### *Landslides*

Big landslides have been developed in the post-Chaudi time. Landslide belt is located between the plateau foot and the shoreline; its width is 400—600 m.

This area is terminated in the abrupt slope 40—50 m. high. Huge elongated ridges—sliding blocks with almost horizontal stratification are rising above the town (Fig. 1).<sup>5</sup> The blocks neighbouring to the plateau as Djini-bahir and Ak-bahir are 120 and 105 meters high, correspondingly, that of Soosam-bahir—65—70 m. (Fig. 2,b). The Block Sivri-tepe, about 50 m. high is located at the seashore. This block is intensively abraded at present. Lesser rock masses with inclined layers are located in spaces between these large blocks. They have been slid from slopes of large blocks and filled these spaces. Shallow subsurface landslides are developing in soils covering these inter-block massifs. The town has been built over the inter-block massifs; therefore it was damaged considerably by landslides. More than 300 buildings were destroyed in the town; the most active was a rotational landslide of the Moscow street.

Study of structure and mechanism of the Balchik landslide area is based on 8 deep and 15 shallow borings, numerous analysis of soil samples and measurements of displacement of 30 bench marks, performed during 5 years (1966—1970).

Geological cross-section of the area along line I—I is given on Fig. 3; blocks of marls and limestones are moving over clays. The rate of block displacement is shown in Table 1.

### *Analysis of sliding*

Five series of geodetic measurements were made in 1966, 1967, 1968, 1969 and 1970. Since all these measurements were made at the same time of the year (August), the increments of coordinates may be considered as components of the annual rate of displacement  $v_x$ ,  $v_y$  and  $v_z$ . Thus the analysis of sliding may be based on results of measurements for four time intervals. Measurements for the time interval 1968—1969 were taken as the basic for this analysis. Theoretical fundamentals of analysis of sliding and experience of its application are published elsewhere (Ter-Stepanian et al., 1969, 1971).

The results of measurements for the interval 1968—1969 are plotted on Figs. 4 and 5, representing hodographs of sliding. The former diagram (Fig. 4) is a horizontal plane with coordinate axes  $v_x$  and  $v_y$ ; the

<sup>5</sup> Figures and Tables see pp. 6—19.

latter one (Fig. 5)—a vertical plane along the total vector  $v$  of displacement rate, with coordinate axes  $v_h$  and  $v_z$ .

A group of points marked by black triangles is distinguished well on the vertical plane of hodographs (Fig. 5). This group of points is located along line  $B$ , forming a small angle with horizon (about  $3^\circ$ ). The corresponding bench marks are installed on blocks ( $\Pi 15$  on Djini-bahir,  $\Pi 14$  on block at Town Stadium, 6 and 9 on the Eastern block, 8 on Soosam-bahir and  $\Pi 10$  on Sivri-tepe). The same points on the horizontal plane of hodographs (Fig. 4) are located along a narrow strip  $A$  with azimuth  $161^\circ$ . Assuming that the block slopes continue underground with the same inclination as above the ground (Fig. 3) the base of blocks may be outlined (Fig. 2,b) and total displacement of each block calculated. Results of these measurements are given in Table 1.

The relationship between average rate of displacement and distance of block travel is shown on Fig. 6,a. It is evident that the displacement rate increases as the distance grows. Such an accelerating movement of blocks from plateau is a general feature of this type of sliding. A progressive extention of inter-block spaces is a consequence; it produces sliding of rocks from block slopes and formation of inter-block massifs.

Several subsurface shallow landslides are developing in the weathered cover of inter-block massifs. Hodographs of sliding for these landslides form belts which correspond to particular areas described earlier (Ter-Stepanian et al., 1969); these belts are outlined on Figs. 4 and 5.

A small planar landslide is in the western part of the area near bench marks  $\Pi 12$  and  $\Pi 13$ ; it is in uniform motion. The second one in western part, near bench marks  $\Pi 11$ ,  $\Delta M 6$  and  $\Delta M 5$  is a retreating landslide. A sea-wall at its tongue is being destroyed as a result of this sliding. The third small landslide in western part of area is located on the southern slope of Soosam-bahir block (bench marks  $\Pi_2$  and  $\Pi_3$ ).

A big rotational slide is developing in the eastern part of the area. Numerous concentric fissures are observed here. The majority of buildings is demolished, the rest are deformed. The sliding is of advancing type (bench marks  $\Delta B 4$ ,  $\Pi_7$  and  $\Pi_8$ ).

The south-eastern part of the area is on a block and moves slowly seaward; a cannery is located on this block. Bench marks  $\Delta B 5$  and  $\Pi_5$  reflect the additional influence of the rotational landslide. Rate of proper displacement of this block may be estimated by value 160 mm/year.

#### *Mechanism of sliding*

Balchik landslides are a unique type of denudation of shore edge of a plateau. Sarmatian stiff rocks lying on uncompetent clays are in combined stress state due to the vertical movements of different intensity and sign of underlain Paleogene blocks. Catastrophic earthquakes reached intensity 10 in the historical time; they were probably much heavier in the last period of geological development. This has produced a breaking of stiff rocks of plateau. The breaking proceeds mainly parallel to the edge of plateau, in direction of maximum concentration of shear stresses. Thus

the continuity of plateau was disturbed. The broken off elongated blocks began to move seaward. The rate of movement at the start is infinitesimal; it may not be detected using customary methods of measurements. The decrease of strength of rocks is a sequences of beginning displacement of blocks; it was detected at the depth 125 and 153 metres by drilling of the bench. mark D8 on plateau near the edge (Fig 2,b).

As the creep of stiff blocks over clay stratum proceeds blocks separate from the plateau first as shallow ditches and later as deeper depressions. Rock masses are crept down from adjoining slopes into the space formed between blocks; orientation of strata has been changed during this movement. Block movement and formation of inter-block massifs proceeds always in the phase of depth creep, i.e. the stresses never reach values corresponding to the total mobilization of shear strength.

The rate of block displacement increases gradually; however at first it was small. So, after displacement 30 metres the rate is about 10 millimetres per annum, after displacement 100 metres—60 mm/year, displacement 170 m—200 mm/year and after displacement 240 m—600 mm/year. These figures show the increase of the block displacement rate.

Blocks are the first story of sliding; they displace rigidly without deformation. The inclination of displacement vectors is 3° (line B, Fig. 5).

Three rows of block with different activity are easily distinguished. The least active is the western row with the block Soosam-bahir. The total displacement of this block is not great (probably about 95 m). The New Black Sea and Nymphean terraces have been preserved at the foot of this block; the Town beach is located on them. More active is the eastern row with blocks at the Town Stadium and at Cannery. Its maximum displacement has reached 162 m. The lowest block of this raw was washed out by abrasion during formation of the New Black Sea terrace; the Nymphean terrace has not preserved here. The most active is the middle row with blocks Djinir-bahir and Sivri-tepe. The maximum displacement of the latter is 244 m., the terraces at its foot are abraded away completely; an accelerated destruction of this block is proceeding at present.

Inter-block massifs are the second story of sliding. The horizontal displacement rate of inter-block massifs is determined by the displacement rate of adjoining blocks while in the vertical direction these massifs undergo an additional compensational settlement due to the extension of the inter-block spaces. Its average value equals to  $u_z = (v_1 - v_2)h/l$ , where  $v_1$  and  $v_2$ —velocities of adjoining blocks,  $h$  and  $l$ —height and length of the massif, correspondingly.

The third story of sliding are several subsurface landslides of different type which develop in the talus depending on geological, hydrogeological and geometric conditions. Rotational and planar landslides with different location of sliding locus were met with. These landslides have non-uniform displacement rates; in active periods they are in the phase of shear, in repose periods they are in the phase of depth creeps.

Peculiar mechanism of Balchik landslides is not unique. Creeping away of blocks in considerably lesser scale has been observed in many places (Sharpe, 1938). Blocks of Upper-Cretaceous limestones in Labyrinth in Khosta near Sochi, on the Black Sea shore creep away along the bedding plane with a dip 10°. The rate of creep increases as the movement proceeds; therefore the width of passes between blocks is 3–5 cm in the upper part of the slope and reaches up to 12 m in its lower part (Ter-Stepanian, 1966).

Relationship between the average rate  $v$  of displacement and creep distance  $s$  (Fig. 6,a) makes it possible to find out the time  $T$  elapsed from the beginning of block movement. The maximum distance of creep 244 m is divided into two intervals: 0–24 m and 24–244 m. Relationship between time and creep distance (Fig. 6,c) was found using Simpson's formula for graphic integration for the second interval and assuming an uniformly accelerated motion for the first one. The calculated values are given in the last column of Table 1.

It would be incorrect to conclude from Table 1, that there was a time period, about 8–11 thousand years ago, when all blocks were broken off from the plateau and then the process ceased. It is still continuing but may not be detected because of small displacement rate in the initial period. Thus, a block which has started to move at the beginning of our era should have the rate 0.002 m/year and have passed only 2 metres. Such a displacement rate is within the error of measurements.

#### *Prognosis of sliding and landslide control*

Block slides of the first story are a giant natural phenomenon which takes place slowly in the seaside. The process is in the phase of depth creep and will never turn into the phase of shear. The stiff blocks are suitable for construction.

Inter-block massifs of the second story are a result of compensating movements. They are also in the phase of depth creep and will never turn into the phase of shear, but unlike blocks they are not enough stiff. Here deformation of adoption are always possible, especially in the seaward parts. Construction is possible in parts adjoining the plateau. Buildings should be simple in plane, long buildings should have settlement joints, footings should be strengthened; multistoried or monumental buildings and continuous constructions should be avoided. The inter-block missifs should not be built-up in the middle and especially in the lower parts of the slope.

Control of landslides of the first and second stories is unfeasible. Control of landslides of third story is possible; it should be taken into account that the base of these landslides is travelling; hence the constructions should be adjusted to these conditions.

ԳՐԱԿԱՆՈՒԹՅՈՒՆ – ЛИТЕРАТУРА – REFERENCES

- Сер-Шеффер Й., 1969. Цанчеври *и норови* и оползни в басейне реки Ташкентской: 46-  
и близкоблизи *и* царевици, бр. 1, 3:49—69.

Сер-Шеффер Й., Чупров Е., Смирнова А. и Раджабова У., 1970. Реки и озера  
и оползни в бассейне реки Фазенди. Чебоксары: 46-и царевици, бр. 1, 5:16—48.

Сер-Шеффер Й., и Сер-Шеффер Й., 1971. Оползни в бассейне реки Чебоксары: 46-и  
и царевици, бр. 1, 5:16—48.

Берегов Р., 1941. Сравнение по Черноморскому краюбрежию при г. Балчик. Годишник  
на Дирекция за природни богатства, отд. А, т. I.

Демиров А. и Стоева П., 1968. Върху деформациите на пътната на долносарматски  
глини от Балчишкото краюбрежие. Спис. Бълг. геол. дружество, год. XXIX.

Димитров Л., 1959. Тектоника на СИ България в светлината на гравиметричните  
изследвания. Извест. на геолог. инст., София, кн. VII.

Каменов Б. и Демиров А., 1965. Оползневые явления на побережье Черного моря  
между Варной и Каварной. Доклады КБГА, VII конгресс, ч. V.

Кунтиш М. Ф., Алексеенко С. Ф. и Тачева Е., 1969. Исследование реологических  
свойств горных пород района Балчик Черноморского побережья НРБ. Научные  
сообщения Института горного дела им. А. А. Скочинского.

Попов В., 1953. Български Добруджански Черноморски бряг. Изв. на Българското  
географско дружество, кн. I (XI).

Тер-Степанян Г. И., 1967. Типы глубинной ползучести склонов в скальных породах.  
Доклады к I Международному конгрессу по механике скальных пород, Москва,  
Изд. НАМГИФ, 102—113; Проблемы геомеханики, Ереван 1969, 3:49—69.

Тер-Степанян Г. И., 1969. О механизме многоярусных оползней. Труды к VII Между-  
народному конгресу по механике грунтов и фундаментостроению, Стройиздат,  
Москва, 190—199.

Тер-Степанян Г. И., Гольдштейн М. Н., Туровская А. Я. и Бабицкая С. С., 1970.  
Многоярусные оползни и прочность мягких глин. Проблемы геомеханики, Ере-  
ван, 4:16—48.

Тер-Степанян Г. И. и Тер-Степанян А. Е., 1971. Анализ оползания природных склонов.  
Проблемы геомеханики, Ереван, 5.

Lepsi J., 1928. Literaturul Sabla-Ecrene. Memorile sectiunii stiintifice. Seria 111  
tomul IV.

Pašek J. and Rybař J., 1969. Svalové pohyby na Černomořském pobřeží Bulharska.  
Časopis pro mineralogii a geologii, Praha, Ročník 14, 3—4.

Plans in the Black sea. 1854. Baljik Bay. M 1: 39130.

Sharpe C.F.S., 1938. Landslides and related phenomena. New York: Columbia Univer-  
sity Press.

Ter-Stepanian G., 1966. Types of depth creep of slopes in rock masses. Proceedings,  
First Congress, Internat. Soc. Rock Mech., Lisbon, 2: 157—160; Problems of Geo-  
mechanics, Yerevan 1969, 3:49—69.

Ter-Stepanian G. and Goldstein M., 1969. Multistoried landslides and strength of soft  
clays. Proceedings, Seventh Internat. Confer. Soil Mech. Found. Engg., Mexico,  
v. II, p. 693—700; Problems of Geomechanics, Yerevan, 1970, 4: 16—48.

Ter-Stepanian G. and Ter-Stepanian H., 1971. Analysis of landslides. Proceedings, IV  
Budapest Confer. Soil Mech. Found. Engg., Budapest, p. 499—504.